



## ژئوشیمی و خاستگاه زمین‌ساختی سنگ‌های بازالتی پلیو-کواترنری جنوب شرق نهیندان، خاور ایران

محمد رضا قاسمپور<sup>\*</sup>، حبیب بیابانگرد، محمد بومری، علی اصغر مریدی

Zahedan, University of Sistan and Baluchestan, Faculty of Sciences, Department of Geology, Zabol Branch

(دریافت مقاله: ۱۲/۸/۸۸ ، نسخه نهایی: ۱۳/۴/۸۹)

**چکیده:** فوران‌های آتش‌شانی با سن پلیو کواترنری در جنوب شرق نهیندان در بردارنده‌ی سنگ‌های بازی هستند، که روی نهشته‌های فلیشی کرتاسه پسین و ته نشسته‌های آبرفتی جوان قرار گرفته‌اند. از نظر سنگ‌نگاشتی این سنگ‌ها بازالت، آندزیت بازالت و آندزیت هستند. این گدازه‌ها دارای بافت‌های پورفیری، ریز بلوری-پورفیری، تراکیتی و پورفیری خوش‌های هستند. این سنگ‌ها دارای درشت بلورهای پلازیوکلاز، کلینوپیروکسن (اوژیت)، اولیوین و آمفیبول (هورنبلند) و نیز پلازیوکلاز-کلینوپیروکسن‌های ریز بلور در خمیره هستند. از نظر ژئوشیمیایی این سنگ‌ها آهکی-قلیایی و دارای  $SiO_2$  ۴۷/۸ تا ۵۷ درصد وزنی  $Al_2O_3$  و در حدود ۱۷ درصد وزنی  $CaO$  هستند. در نمودار عناصر نادر خاکی بهنجار شده نسبت به کندریت، این سنگ‌ها نشانی از غنی‌شدگی در عناصر نادر خاکی سبک (LREE) و تهی‌شدگی در عناصر نادر خاکی سنگین (HREE) دارند. این سنگ‌ها در نمودار عناصر کمیاب بهنجار شده نسبت به گوشه‌های اولیه، عناصر  $Nb$ ,  $P$ ,  $Ti$  و  $Zr$  دارای بی‌هنجری منفی ولی عناصر  $Pb$ ,  $Sr$ ,  $Ba$ ,  $K$ ,  $Ca$  و  $Mg$  بی‌هنجری مثبت نشان می‌دهند. این گوشه‌های شیمیایی گدازه‌های پلیو کواترنری نهیندان همراه با بالا بودن نسبت‌های LREE/HREE و HFSE/LILE نشان می‌دهند که در یک محیط فرورانش حاصل شده‌اند. نسبت  $Zr/Y$  در این سنگ‌ها مشابه گدازه‌های قوس قاره‌ای است. بر اساس نمودارهای جداشی زمین‌ساختی - ماقمایی گدازه‌های پلیو کواترنری نهیندان در یک محیط حاشیه‌ی فعال قاره‌ای شکل گرفته‌اند.

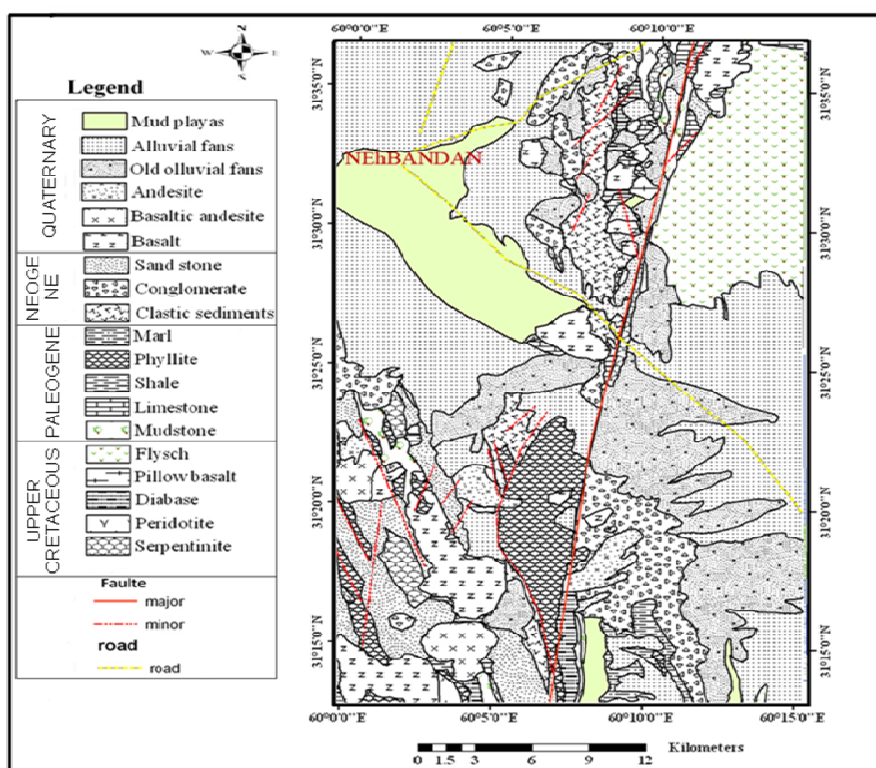
**واژه‌های کلیدی:** ژئوشیمی، نهیندان، فرورانش، گدازه‌های بازالتی، ایران.

معرفی شده‌اند. این سنگ‌ها بر روی واحدهای سنگی قدیمی‌تر قرار گرفته‌اند و سن آن‌ها را به پلیوکواترنر نسبت می‌دهند [۱]. این گستره بخشی از زون فلیش خاوری ایران است [۲] که در بخش شمالی پهنه‌ی جوش خورده‌ی سیستان واقع شده است [۳]. هدف از این پژوهش، سنگ‌نگاری، زمین‌شیمی و شرایط تشکیل سنگ‌های بازالتی پلیو کواترنری جنوب شرق نهیندان و محیط زمین‌ساختی تشکیل آن‌هاست.

### مقدمه

منطقه‌ی مورد بررسی در گستره‌ی طول جغرافیایی  $36^{\circ} ۰' - ۶۰^{\circ} ۰'$  خاوری و عرض جغرافیایی  $۳۶^{\circ} ۳۱' - ۳۱^{\circ} ۱۴'$  شمالی و در فاصله‌ی ۸ کیلومتری جنوب خاوری شهرستان نهیندان و ۲۳۰ کیلومتری شمال زاهدان قرار گرفته است (شکل ۱). این گستره جزئی از نقشه‌های زمین‌شناسی ۱:۲۵۰۰۰۰ چهار گوش زابل و ۱:۱۰۰۰۰۰ چهار گوش نهیندان است که در نقشه‌های یاد شده این سنگ‌ها آندزی بازالت

\*نویسنده مسئول، تلفن: ۰۹۱۳۲۴۳۴۱۱۷، نامبر: ۰۵۴۱ (۲۴۴۶۵۶۵)، پست الکترونیکی: ghasempour\_1984@yahoo.com



شکل ۱ نقشه زمین‌شناسی منطقه‌ی مورد بررسی (نقل از نقشه زمین‌شناسی ۱:۲۵۰۰۰ زابل با تغییرات).

افغان را به کرتاسه بالایی (سنومانین) نسبت می‌دهند و در این مدل ژئودینامیکی حوضه‌ی ریفتی شرق ایران، قبل از کامپانین به شکل تکاملی خود می‌رسد. سرآغاز عمل فرورانش و بسته شدن آن را در غرب بلوک افغان به کامپانین نسبت می‌دهند. اگرچه حجم زیاد سنگ‌های آهکی-قلیایی پالئوژن در شمال و شرق بلوک لوت موجب شد که فرورانش به سمت باختر (به زیر بلوک لوت) صورت گرفته، اما آن‌ها براساس رانش ساخته شیب فرورانش را به سمت شمال خاور (بلوک افغان) در نظر می‌گیرند. بر اساس مدل [۴] گذاره‌هایی با ترکیب آهکی-قلیایی در این حوضه محصول عمل فرورانش‌اند، که در جزایر قوسی به وجود آمده‌اند. در ماستریختین عمل فرورانش به سمت غرب حوضه‌ی تغییر مکان است و پس از بسته شدن، آثار آن را تحت عنوان "مجموعه نه" معرفی کرده اند [۴]. سپس در پالئوسن و ائوسن زیرین در اثر ذوب بخشی پوسته اقیانوسی فرورانش شده، ماجمای آهکی-قلیایی تشکیل شد، و سپس پس از برخورد مجموعه نه با بلوک لوت، عمل فرورانش در پالئوژن خاتمه می‌یابد. از طرف دیگر به خاطر وجود آتشفسان‌های سنوزئیک در بخش خاوری و شمال بلوک لوت جهت فرورانش را به سمت باختر (زیر بلوک لوت) در نظر می‌گیرد [۵].

### روش بررسی

پس از جمع آوری اطلاعات موجود از منطقه، بررسی مقدماتی از کل منطقه آغاز و تعیین مسیرهای پیمایش و نمونه‌برداری انجام شد و تعداد ۱۷۰ نمونه که معرف کل منطقه‌اند انتخاب شدند. سپس مقاطع نازک میکروسکوپی تهیه و بررسی شدند. پس از بررسی‌های سنگ‌شناختی تعداد ۱۲ نمونه از سنگ‌های سالم و کمتر دگرسان شده انتخاب و به روش‌های ICP-MS و ICP-AES به شرکت ALS Chemex کانادا ارسال و تجزیه شدند (جدول ۱).

**زمین‌شناسی عمومی گستره‌ی مورد بررسی**  
زون فلیش خاور ایران در بخش خاوری زون لوت-بزمان واقع شده است که از جنوب به زون مکران محدود می‌شود و به سمت شمال تا گتاباد ادامه دارد. این زون حدود ۸۰۰ کیلومتر طول و ۲۰۰ کیلومتر عرض دارد و دارای روند شمالی-جنوبی است. سنگ‌های این پهنه شامل دو مجموعه‌ی افیولیتی، رتوک در باختر و نه [مجموعه نه] در خاور و یک مجموعه‌ی رسوی (سفیدابه) را تشکیل می‌دهند [۳]. زمین‌شناسان زیادی به وجود فرورانش در شرق ایران اشاره کرده‌اند از جمله [۵-۳]، بر اساس هر یک از این مدل‌های ارائه شده، جهت فرورانش متفاوت بوده است. براساس مدل [۳] جدایش بلوک لوت از

جدول ۱ نتایج تجزیه شیمیایی اکسیدهای اصلی (بر حسب درصد وزنی) به روش ICP-AES و عناصر فرعی (بر حسب ppm) به روش ICP-MS

| Sample                         | DN2   | RM    | SG1   | SG4   | SG8   | SG19   | SG20  | SH7   | SH10  | SS5   | SS8   | TG27  |
|--------------------------------|-------|-------|-------|-------|-------|--------|-------|-------|-------|-------|-------|-------|
| SiO <sub>2</sub>               | ۵۰.۹  | ۵۲.۳  | ۴۷.۸  | ۵۲.۶  | ۴۹.۱  | ۴۷.۹   | ۵۰.۰  | ۵۴.۹  | ۵۵.۵  | ۵۷.۰  | ۵۵.۳  | ۵۳.۷  |
| Al <sub>2</sub> O <sub>3</sub> | ۱۵.۱۰ | ۱۵.۸۵ | ۱۰.۸۵ | ۱۳.۶۰ | ۱۵.۰۵ | ۱۳.۰۰  | ۱۳.۸۰ | ۱۵.۸۵ | ۱۵.۹۰ | ۱۵.۸۰ | ۱۶.۱۰ | ۱۴.۴۵ |
| Fe <sub>2</sub> O <sub>3</sub> | ۸.۰.۸ | ۶.۶۰  | ۹.۱۶  | ۷.۹۷  | ۷.۸۶  | ۷.۹۲   | ۸.۵۹  | ۶.۲۱  | ۶.۳۰  | ۵.۷۲  | ۶.۷۹  | ۷.۷۷  |
| CaO                            | ۹.۳۰  | ۹.۱۲  | ۸.۱۹  | ۸.۷۶  | ۹.۵۴  | ۹.۸۶   | ۸.۸۳  | ۷.۰.۶ | ۷.۴۷  | ۶.۵۱  | ۷.۱۷  | ۸.۱۱  |
| MgO                            | ۴.۵۶  | ۳.۴۲  | ۱۵.۷۰ | ۶.۷۱  | ۴.۸۹  | ۷.۵۵   | ۱۳.۱۰ | ۳.۴۵  | ۳.۵۹  | ۲.۰۰  | ۳.۰۷  | ۵.۲۵  |
| Na <sub>2</sub> O              | ۴.۷۶  | ۵.۳۳  | ۲.۰۴  | ۲.۶۲  | ۴.۷۴  | ۳.۷۵   | ۲.۹۶  | ۵.۳۷  | ۵.۶۶  | ۵.۸۵  | ۵.۳۲  | ۴.۲۸  |
| K <sub>2</sub> O               | ۱.۳۶  | ۱.۲۴  | ۲.۰۳  | ۲.۴۹  | ۱.۶۴  | ۲.۰۷   | ۱.۲۲  | ۱.۴۶  | ۱.۵۴  | ۱.۵۴  | ۱.۶۰  | ۱.۴۰  |
| Cr <sub>2</sub> O <sub>3</sub> | ۰.۰.۲ | ۰.۰.۱ | ۰.۱۹  | ۰.۰۵  | ۰.۰۱  | ۰.۰۴   | ۰.۱۴  | ۰.۰۱  | ۰.۰۱  | ۰.۰۱  | ۰.۰۱  | ۰.۰۲  |
| TiO <sub>2</sub>               | ۱.۸۴  | ۱.۶۲  | ۰.۸۲  | ۰.۸۷  | ۱.۸۲  | ۱.۰۲   | ۰.۷۵  | ۱.۶۴  | ۱.۷۱  | ۱.۵۴  | ۱.۶۸  | ۱.۷۸  |
| MnO                            | ۰.۱۲  | ۰.۰۹  | ۰.۱۵  | ۰.۱۳  | ۰.۱۱  | ۰.۱۳   | ۰.۱۴  | ۰.۱۰  | ۰.۱۰  | ۰.۰۹  | ۰.۱۰  | ۰.۱۳  |
| P <sub>2</sub> O <sub>5</sub>  | ۱.۰.۸ | ۱.۰.۲ | ۰.۲۸  | ۰.۳۲  | ۱.۲۰  | ۰.۷۰   | ۰.۲۴  | ۰.۸۹  | ۰.۹۳  | ۱.۰۵  | ۰.۹۱  | ۰.۸۷  |
| SrO                            | ۰.۱۷  | ۰.۱۹  | ۰.۰۷  | ۰.۰۷  | ۰.۲۲  | ۰.۱۶   | ۰.۰۶  | ۰.۱۵  | ۰.۱۶  | ۰.۱۷  | ۰.۱۶  | ۰.۱۸  |
| BaO                            | ۰.۰.۵ | ۰.۰.۸ | ۰.۰.۷ | ۰.۰.۸ | ۰.۰.۷ | ۰.۱۵   | ۰.۰۵  | ۰.۰۵  | ۰.۰۵  | ۰.۰۵  | ۰.۰۵  | ۰.۰۵  |
| LOI                            | ۰.۸۰  | ۲.۲۹  | ۱.۳۲  | ۲.۱۰  | ۲.۸۰  | ۳.۸۸   | ۰.۳۰  | ۱.۱۹  | ۱.۸۰  | ۰.۳۰  | ۲.۰۰  | ۱.۵۹  |
| Total                          | ۹۸.۱  | ۱۰۰.۰ | ۹۸.۵  | ۹۸.۲  | ۹۹.۱  | ۹۸.۱   | ۱۰۰.۰ | ۹۸.۳  | ۱۰۰.۵ | ۹۸.۶  | ۱۰۰.۵ | ۹۹.۵  |
| Ag                             | <1    | <1    | <1    | <1    | <1    | <1     | <1    | <1    | <1    | <1    | <1    | <1    |
| Ba                             | ۴۷۱   | ۷۰.۷  | ۶۴۷   | ۷۵۴   | ۶۲۳   | ۱۳۴۵   | ۴۲۷   | ۲۸۹   | ۴۱۸   | ۴۳۳   | ۳۹۵   | ۳۹۷   |
| Ce                             | ۱۲۲.۵ | ۱۱۷.۵ | ۴۱.۹  | ۴۳.۴  | ۱۴۴.۰ | ۱۵۶.۰  | ۴۲.۲  | ۹۷.۴  | ۹۶.۸  | ۹۵.۳  | ۹۶.۰  | ۹۸.۳  |
| Co                             | ۲۵.۴  | ۱۹.۸  | ۵۴.۴  | ۲۷.۵  | ۲۵.۷  | ۳۱.۳   | ۴۸.۵  | ۲۰.۷  | ۲۰.۵  | ۱۸.۵  | ۲۲.۳  | ۳۱.۲  |
| Cr                             | ۱۱.۰  | ۹.۰   | ۱۳۷.۰ | ۳۴.۰  | ۹.۰   | ۲۷.۰   | ۹۶.۰  | ۶.۰   | ۵.۰   | ۷.۰   | ۵.۰   | ۱۷.۰  |
| Cs                             | ۰.۷۸  | ۰.۹۲  | ۱.۲۶  | ۰.۴۱  | ۱.۰۱  | ۲.۶۲   | ۰.۹۲  | ۰.۵۶  | ۰.۹۰  | ۰.۵۵  | ۲.۰۴  | ۴.۱۷  |
| Cu                             | ۸.۸۶  | ۱.۰.۸ | ۸.۴   | ۹.۵   | ۶.۹   | ۱.۰.۹  | ۶.۶   | ۵.۰   | ۳.۹   | ۸.۹   | ۴.۹   | ۱۳.۶  |
| Dy                             | ۴.۴۳  | ۳.۷۰  | ۲.۹۸  | ۳.۳۰  | ۴.۱۹  | ۵.۷۴   | ۳.۰.۸ | ۳.۵۶  | ۳.۴۲  | ۳.۲۹  | ۳.۴۵  | ۴.۳۱  |
| Er                             | ۲.۰.۶ | ۱.۶۰  | ۱.۷۹  | ۲.۰.۲ | ۱.۹۱  | ۲.۵۸   | ۱.۷۵  | ۱.۶۷  | ۱.۶۳  | ۱.۵۴  | ۱.۶۲  | ۲.۲۶  |
| Eu                             | ۲.۴۳  | ۲.۱۶  | ۱.۱۰  | ۱.۱۴  | ۲.۵۸  | ۳.۳۴   | ۱.۲۵  | ۲.۰.۹ | ۲.۰.۸ | ۲.۰.۳ | ۲.۰.۶ | ۲.۱۸  |
| Ga                             | ۲۰.۳  | ۲۰.۰  | ۱۲.۴  | ۱۴.۷  | ۲۱.۰  | ۱۹.۰   | ۱۶.۰  | ۲۱.۰  | ۲۱.۰  | ۲۰.۸  | ۲۰.۸  | ۱۹.۸  |
| Gd                             | ۷.۸۸  | ۶.۹۷  | ۳.۹۱  | ۴.۲۲  | ۸.۳۹  | ۱.۰.۸۰ | ۳.۸۷  | ۶.۱۰  | ۵.۹۲  | ۶.۰۰  | ۵.۹۶  | ۶.۴۳  |
| Hf                             | ۰.۲   | ۰.۲   | ۲.۰   | ۲.۲   | ۰.۳   | ۰.۷    | ۲.۳   | ۰.۱   | ۴.۹   | ۰.۴   | ۰.۰   | ۰.۱   |
| Ho                             | ۰.۷۴  | ۰.۰۹  | ۰.۰۷  | ۰.۶۱  | ۰.۷۱  | ۰.۸۷   | ۰.۵۸  | ۰.۶۱  | ۰.۵۹  | ۰.۰۷  | ۰.۶۰  | ۰.۷۷  |
| La                             | ۵۸.۱  | ۵۸.۰  | ۲۱.۲  | ۲۲.۰  | ۶۹.۰  | ۸۰.۰   | ۲۱.۲  | ۴۷.۲  | ۴۷.۴  | ۴۶.۲  | ۴۷.۹  | ۴۶.۲  |
| Lu                             | ۰.۱۷  | ۰.۱۳  | ۰.۲۱  | ۰.۱۹  | ۰.۱۶  | ۰.۱۸   | ۰.۲۱  | ۰.۱۶  | ۰.۱۵  | ۰.۱۴  | ۰.۱۶  | ۰.۲۵  |
| Mo                             | ۲     | ۲     | ۲     | <۲    | <۲    | <۲     | <۲    | <۲    | <۲    | <۲    | <۲    | <۲    |
| Nb                             | ۳۱.۱  | ۲۷.۴  | ۵.۷   | ۴.۹   | ۳۲.۱  | ۱۶.۵   | ۶.۴   | ۲۹.۱  | ۲۹.۴  | ۲۵.۹  | ۲۹.۳  | ۲۹.۷  |
| Nd                             | ۵۴.۷  | ۵۰.۹  | ۲۰.۲  | ۲۱.۴  | ۶۳.۰  | ۷۰.۶   | ۲۰.۲  | ۴۲.۰  | ۴۱.۵  | ۴۱.۵  | ۴۱.۷  | ۴۴.۶  |
| Ni                             | ۴۶    | ۴۲    | ۴۹.۵  | ۵۶    | ۴۳    | ۵۸     | ۳۶۶   | ۳۴    | ۳۶    | ۴۲    | ۳۸    | ۹۶    |
| Pb                             | ۸     | ۷     | ۹     | ۱۱    | ۱۲    | ۱۷     | ۸     | ۲۲    | ۱۲    | ۸     | ۱۶    | ۱۲    |
| Pr                             | ۱۲.۹۵ | ۱۲.۰۰ | ۴.۷۲  | ۵.۰۷  | ۱۶.۱۵ | ۱۷.۶۵  | ۴.۸۰  | ۱۱.۱۵ | ۱۱.۱۵ | ۱۱.۰۰ | ۱۱.۱۰ | ۱۱.۶۰ |
| Rb                             | ۲۴.۹  | ۱۹.۷  | ۶۰.۰  | ۵۷.۴  | ۲۷.۴  | ۳۵.۰   | ۲۹.۰  | ۲۰.۷  | ۲۱.۴  | ۲۰.۷  | ۲۲.۲  | ۳۹.۸  |
| Sm                             | ۹.۳۲  | ۸.۶۵  | ۴.۴۳  | ۴.۵۶  | ۱۰.۲۵ | ۱۴.۱۰  | ۴.۲۹  | ۷.۱۲  | ۷.۱۳  | ۶.۹۲  | ۷.۱۰  | ۷.۹۲  |
| Sn                             | ۲     | ۲     | ۱     | ۱     | ۲     | ۲      | ۱     | ۱     | ۱     | ۱     | ۲     | ۲     |
| Sr                             | ۱۳.۰  | ۱۴.۰  | ۰.۹۶  | ۰.۸۶  | ۱۷۵.۰ | ۱۳۸.۰  | ۴۸۶   | ۱۱۱۵  | ۱۱۲۵  | ۱۲۵۵  | ۱۱۷۵  | ۱۳۶۵  |
| Ta                             | ۱.۸   | ۱.۶   | ۰.۴   | ۰.۶   | ۱.۸   | ۱.۱    | ۰.۴   | ۱.۴   | ۱.۴   | ۱.۲   | ۱.۴   | ۱.۶   |
| Tb                             | ۰.۹۲  | ۰.۸۰  | ۰.۰۲  | ۰.۰۳  | ۰.۹۴  | ۱.۱۷   | ۰.۵۴  | ۰.۸۴  | ۰.۸۲  | ۰.۸۰  | ۰.۸۰  | ۰.۹۴  |
| Th                             | ۴.۸۲  | ۵.۰۲  | ۰.۹۹  | ۶.۵۹  | ۰.۹۰  | ۱۸.۹۰  | ۴.۸۵  | ۵.۶۶  | ۵.۲۷  | ۴.۳۹  | ۵.۱۹  | ۵.۲۸  |
| Tl                             | <۰.۵  | <۰.۵  | <۰.۵  | <۰.۵  | <۰.۵  | <۰.۵   | <۰.۵  | <۰.۵  | <۰.۵  | <۰.۵  | <۰.۵  | <۰.۵  |
| Tm                             | ۰.۲۳  | ۰.۱۷  | ۰.۲۳  | ۰.۱۶  | ۰.۲۰  | ۰.۱۸   | ۰.۲۲  | ۰.۱۹  | ۰.۱۸  | ۰.۱۷  | ۰.۱۷  | ۰.۲۶  |
| U                              | ۰.۷۶  | ۱.۱۸  | ۱.۱۰  | ۱.۴۷  | ۱.۱۱  | ۳.۳۱   | ۰.۹۷  | ۱.۱۶  | ۱.۳۶  | ۰.۷۷  | ۱.۸۹  | ۱.۹۵  |
| V                              | ۱۹۶   | ۱۳۶   | ۱۹۰   | ۲۱۳   | ۱۸۹   | ۲۶۲    | ۲۰۴   | ۱۳۹   | ۱۵۸   | ۱۰۲   | ۱۵۲   | ۲۳۲   |
| W                              | ۱     | ۱     | ۱     | ۴     | ۱     | ۴      | ۱     | ۱     | ۲     | ۱     | ۲     | ۲     |
| Y                              | ۲۰.۲  | ۱۶.۶  | ۱۶.۳  | ۱۹.۰  | ۱۹.۸  | ۲۷.۶   | ۱۶.۴  | ۱۰.۵  | ۱۰.۲  | ۱۴.۷  | ۱۵.۴  | ۲۰.۸  |
| Yb                             | ۱.۴۴  | ۱.۱۰  | ۱.۰۰  | ۱.۸۲  | ۱.۳۰  | ۱.۹۳   | ۱.۰۴  | ۱.۱۷  | ۱.۱۰  | ۱.۰۸  | ۱.۱۲  | ۱.۶۹  |
| Zn                             | ۱۲۸   | ۱۲۲   | ۸۱    | ۷۶    | ۱۴۶   | ۱۰۲    | ۸۹    | ۱۶۹   | ۱۲۱   | ۱۱۳   | ۱۲۴   | ۱۲۱   |
| Zr                             | ۲۱۹   | ۲۳۵   | ۷۲    | ۸۴    | ۲۲۵   | ۲۲۶    | ۸۹    | ۲۳۸   | ۲۳۷   | ۲۵۳   | ۲۳۹   | ۲۲۱   |

نمونه‌های، بازالت و آندزیت بازالت دیده می‌شوند. شکستگی‌های فراوانی در این کانی دیده می‌شود و از طریق این شکستگی‌ها و حاشیه به ایدینگریت و بولنثیت تبدیل شده‌اند. شدت تبدیل شدگی در این فرایندهای متفاوتند (شکل ۲ پ).

کلینوپیروکسن: سومین درشت‌بلور فراوان این سنگ‌ها را کلینوپیروکسن (اوژیت) تشکیل می‌دهد، بلورهای پیروکسن نیز مانند اولیوین در بازالت‌ها و آندزیت‌بازالت‌ها بیشترین مقدار بوده، ولی در نمونه‌های آندزیتی به ندرت مشاهده می‌شوند. فراوانی آن‌ها به طور چشمگیری از اولیوین‌ها کمتر است این بلورها شکل‌دار تا نیمه‌شکل‌دار (با اندازه ۰/۳ تا ۰/۷۵ میلی‌متر) بوده و به صورت منفرد یا همراه با بلورهای پلازیوکلاز و اولیوین (بافت پورفیری خوش‌های) دیده می‌شوند (شکل ۲ ت). با توجه به زاویه‌ی خاموشی (۴۲ درجه) و حداقل رنگ تداخلی تا سیز مرتبه دوم، احتمالاً از نوع اوژیت هستند. این بلورها نسبت به درشت بلورهای دیگر سالم‌ترند و دگرسانی و تجزیه نشان نمی‌دهند (شکل ۳ الف)، ولی در برخی موارد دارای خوردگی هستند.

آمفیبیول: مهم‌ترین آمفیبیول این سنگ‌ها هورنبلند شکل‌دار و بیشتر به صورت درشت‌بلور (شکل ۳ ب) و کمتر به صورت ریز بلورند و غالباً در آندزیت‌ها و آندزیت‌بازالت‌ها دیده می‌شود. این کانی در برخی موارد دارای حاشیه اپاسیتی شده با شدت‌های متفاوت است (شکل ۳ پ). هورنبلند آندزیت‌ها حاوی مقادیر بیشتری از این کانی به صورت شکل‌دار تا نیمه‌شکل‌دارند. گاه اپاسیتی شدن به حدی پیشرفت کرده که فقط قالب این کانی بجا مانده است.

برخی از پژوهشگران معتقدند که اپاسیتی شدن بلورهای هورنبلند به دلیل اکسایش آن‌ها در شرایط اکسیژن بالاست [۹]. و برخی دیگر علت آن را کاهش فشار در اثر نزدیک شدن ماقماً به سطح زمین، خروج گازهای ماقمایی و بالا رفتن سرعت سردشدن و چسبندگی ماقماً می‌دانند [۱۰، ۱۱]. افت فشار گسترده‌ی پایداری این کانی را کاهش داده و آن‌ها را دستخوش واجذبی [جادایش] می‌نماید در نتیجه حاشیه‌های سیاه رنگی پیرامون بلورهای هورنبلند تشکیل می‌شوند که به آن‌ها حاشیه‌های اپاسیتی گفته می‌شود [۱۲]. در خمیره‌ی این سنگ‌ها ریز بلورهای پلازیوکلاز و کلینوپیروکسن ریز بلور و گاهی هورنبلند و اولیوین نیز حضور دارند. پلازیوکلاز کانی اصلی سازنده‌ی خمیره این سنگ‌هاست و بلورهای اوژیت، کانی‌های کدر و گاهی اولیوین (در بازالت‌ها) به صورت میان دانه‌ای بین بلورهای پلازیوکلاز دیده می‌شوند. در مواردی این بلورها به صورت موازی در خمیره‌ی سنگ قرار گرفته‌اند و بافت تراکیتی را به نمایش می‌گذارند (شکل ۳ ت).

سنگ‌های آتشفسنای مورد بررسی، در بیشتر موارد روی نهشته‌های فلیش مانند و آبرفتی قرار گرفته‌اند. از دیگر واحدهای سنگی که در منطقه رخمنون دارند سنگ‌های رسوبی شامل: تناوبی از شیل و ماسه سنگ، شیل سیلیسی، شیل ماسه‌ای با قطعاتی از آهک‌های لایه نازک و رسوبهای پلازیک کرتاسه‌ی فوکانی هستند. در بعضی موارد علاوه بر مخلوط شیل و ماسه سنگ، قطعاتی از سنگ‌های آتشفسنای نیز در آن‌ها به چشم می‌خورد. این سنگ‌ها دستخوش دگرگیختی شدیدی شده‌اند. در نهایت این سنگ‌ها به وسیله‌ی سنگ‌های آذرین یاد شده پوشیده می‌شوند [۱].

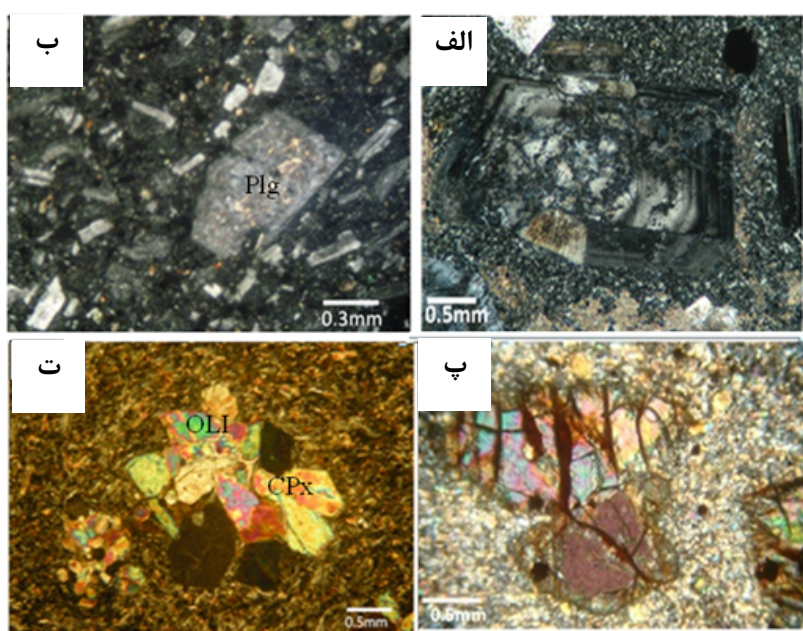
### سنگ‌شناسی

نمونه‌های سنگی مورد بررسی در مقاطع میکروسکوپی بازالت، آندزیت بازالت و تعداد کمی از نمونه‌ها آندزیت بودند. این سنگ‌ها دارای مشخصات زیرنده:

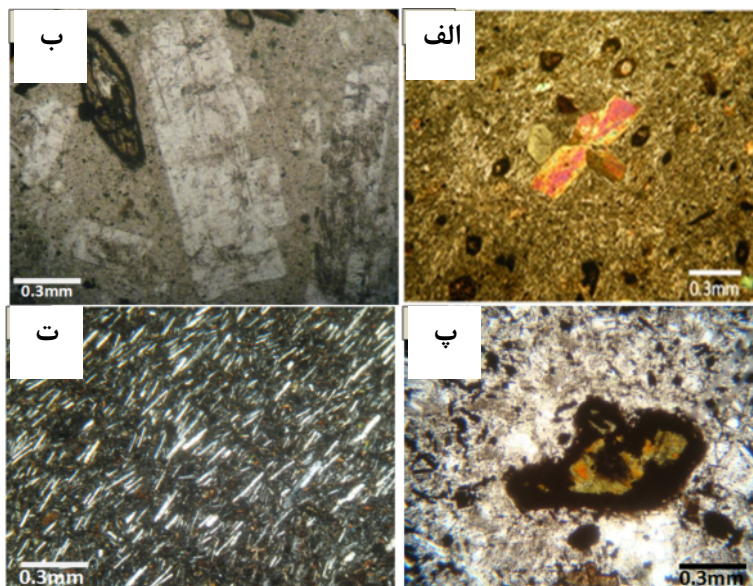
مهم‌ترین درشت بلورهای موجود در این سنگ‌ها به ترتیب فراوانی، پلازیوکلاز، اولیوین، کلینوپیروکسن (اوژیت) و هورنبلند که در خمیره‌ای از همین کانی‌ها قرار دارند. بافت شاخص این سنگ‌ها ریز بلور پورفیری است. ولی تجمع درشت بلورها در بخش‌هایی از این سنگ‌ها تشکیل بافت پورفیری خوش‌های را داده است.

پلازیوکلاز: فراوان‌ترین کانی موجود در این سنگ‌های است که به صورت درشت‌بلور و ریز دانه در خمیره وجود دارند. این کانی اغلب شکل‌دار تا نیمه‌شکل‌دار و به اندازه ۰/۳ تا ۰/۵ و گاهی تا ۰/۵ میلی‌متر بوده و اغلب دارای ماکل پلی‌سنتیک می‌باشند. این کانی‌ها در برخی از آندزیت‌بازالت‌ها و آندزیت‌ها دارای منطقه‌بندی (شکل ۲ الف) و بافت غربالی (شکل ۲ ب) هستند. بعضی از پژوهشگران [۷، ۶] پیدایش بافت غربالی را به فرآیند اختلاط ماقمایی نسبت می‌دهند، ولی برخی دیگر [۸] معتقدند که ناپایداری بلورهای پلازیوکلاز حین حرکت سریع ماقماً به سمت بالا، باعث پیدایش بافت غربالی در آن‌ها می‌شود، زیرا بعضی از قسمت‌های پلازیوکلاز به طور بخشی ذوب می‌شود و فراورده‌های ناشی از ذوب پلازیوکلاز در داخل بلور شروع به تبلور می‌کنند. برحسب اینکه نرخ کاهش دما سریع یا آهسته باشد این فراورده‌ها به صورت شیشه یا پلازیوکلاز جدید در داخل پلازیوکلاز اولیه متبلور شده و باعث ظهور بافت غربالی در پلازیوکلاز می‌شوند. زاویه‌ی خاموشی پلازیوکلازها، ترکیب آن‌ها را آندزین تا لاپرادوریت نشان می‌دهند.

اولیوین: دومین درشت‌بلور فراوان این سنگ‌ها را اولیوین تشکیل می‌دهد. این کانی به صورت شکل‌دار تا نیمه‌شکل‌دار (با اندازه ۰/۵ تا ۰/۳ میلی‌متر) هستند، این درشت بلورها بیشتر در



شکل ۲ الف) درشت بلور پلازیوکلاز با منطقه‌بندی در یک نمونه‌ی آندزیت (XPL)، ب)، درشت بلور پلازیوکلاز با بافت غربالی (XPL، پ)، بلورهای درشت اولیوین با حاشیه‌ی ایدینگریتی شده در یک نمونه بازالت (XPL)، ت)، تجمع درشت بلورهای پیروکسن و اولیوین (باft پورفیری خوش‌های موجود در بازالت (XPL).



شکل ۳ الف) درشت بلورهای پیروکسن (باft ریز بلور پورفیری) موجود در سنگ‌های بازالتی منطقه‌ی (XPL)، ب) درشت بلور شکل دار هورنبلند در یک نمونه‌ی هورنبلند آندزیت (PPL)، پ) درشت بلور هورنبلند با حاشیه‌ی اپاسیتی شده (XPL)، ت) باft تراکیتی حاصل از بلورهای اوژیت و میکرولیت‌های پلازیوکلاز (XPL).

کمتری دارند، می‌توان آن‌ها را نامگذاری کرد. مهم‌ترین این عناصر Y, Nb, Ga و Zr هستند. با استفاده از آنالیزهای شیمیایی سنگ‌های منطقه مورد بررسی (جدول ۱)، از نمودار تغییرات  $Nb/Yb$  نسبت به  $Zr/TiO_2$  [۱۳]. برای رده-

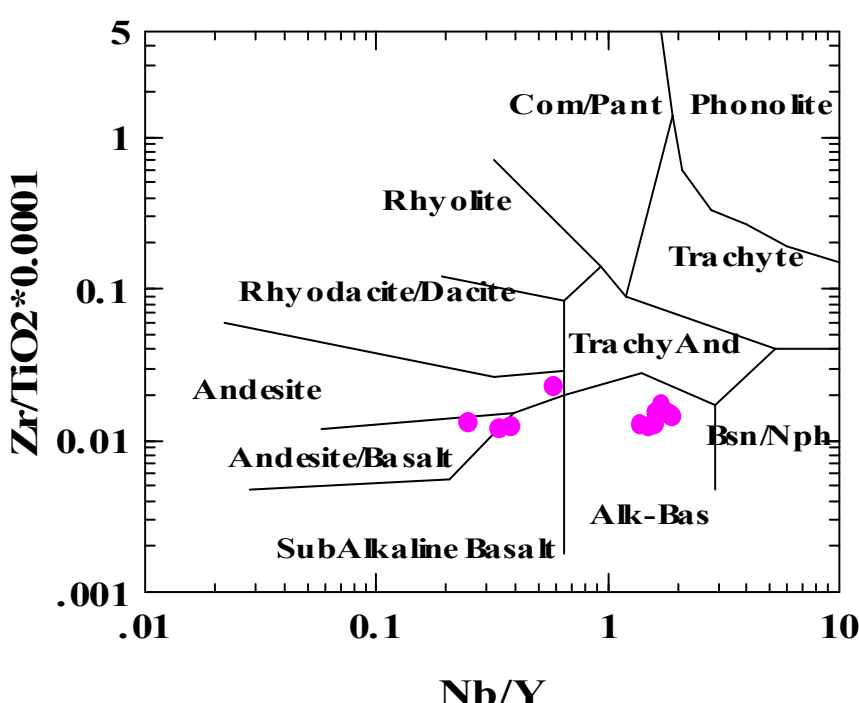
**بررسی‌های زمین‌شیمی**  
با توجه به اینکه در سنگ‌های آتشفسانی، امکان دگرسانی و تغییرات کانی‌شناسی و شیمیایی بیشتر از سنگ‌های آذرین درونی است، لذا با استفاده از عناصری که قابلیت تحرک

ولی تا اندازه‌ای روند کاهشی دارند. که این نشان دهنده‌ی تبلور کانی‌های اولیوین، پیروکسن، پلاژیوکلاز و آمفیبول از ماقماست. مقدار  $\text{CaO}$  نمونه‌ها با افزایش  $\text{SiO}_2$  کم و بیش روند کاهشی منظمی را نشان می‌دهد. که احتمالاً ناشی از شکل‌گیری ترکیب پلاژیوکلازها از کلسیک به سدیک حین تبلور بخشی ماقما است. به هر حال ارتباط ضعیف  $\text{CaO}$  به  $\text{SiO}_2$  احتمالاً ناشی از آلیتی شدن بلورهای پلاژیوکلاز باشد [۱۸]. دو نمونه‌ی SG1 و SG20 نسبت به نمونه‌های دیگر و، در مقاطع میکروسکوپی حاوی درشت بلورهای بیشتری از اولیوین و کلینوپیروکسن بودند و به همین دلیل نسبت به نمونه‌های دیگر دارای  $\text{MgO}$  بالاتری هستند (جدول ۱). همچنین در این دو نمونه مقادیر کروم، نیکل و کبالت نیز بالاست. چون این سه عنصر از عناصر سازگاری هستند که به شدت تمایل به جدا شدن از ماقما را در آغاز جدایش ماقمایی دارند [۱۹]. در میان عناصر کمیاب، عناصر سازگاری مانند  $\text{Cr}$ ,  $\text{Co}$ ,  $\text{Ni}$  و  $\text{V}$  نسبت به  $\text{SiO}_2$  تقریباً روند کاهشی دارند (شکل ۶). این عناصر در آغاز روند جدایشی، از ماقمای بازالتی جدا شده و وارد کانی‌هایی مانند اولیوین، پیروکسن و مگنتیت می‌شوند [۲۰].

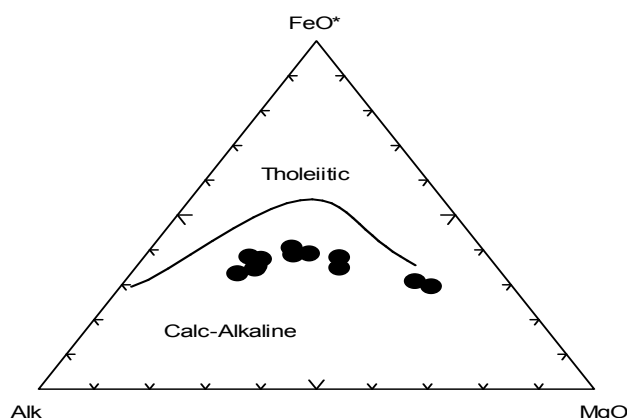
بندی و نامگذاری آن‌ها استفاده شد (شکل ۴). براساس نتایج به دست آمده از این نمودار، نمونه‌های مورد بررسی در گستره‌های: بازالت قلیایی، بازالت شبه قلیایی، آندزیت بازالت و یک نمونه در گستره‌ی آندزیت قرار می‌گیرند.

مقدار  $\text{SiO}_2$  این سنگ‌ها بین ۴۷/۸ تا ۵۷ درصد وزنی متغیر است (جدول ۱). مقدار  $\text{Al}_2\text{O}_3$  نمونه‌ها بالا و در حدود ۱۷ درصد وزنی است. این مقدار بالا در بازالت‌ها احتمالاً نشان دهنده‌ی تبلور اولیه‌ی کانی‌های مافیک از مذاب سازنده‌ی آن‌ها در فشارهای نسبتاً بالاست [۱۵, ۱۴]. که موجب تمرکز آلومینیم در مذاب باقیمانده شده و باعث تبلور پلاژیوکلاز در فشارهای کمتر می‌شود. برای تعیین سری ماقمایی سنگ‌های مورد بررسی، از نمودار AFM استفاده شد [۱۶]. در نمودار پادشاه نمونه‌ها در گستره‌ی ترکیبی سنگ‌های آهکی-قلیایی قرار می‌گیرند (شکل ۵).

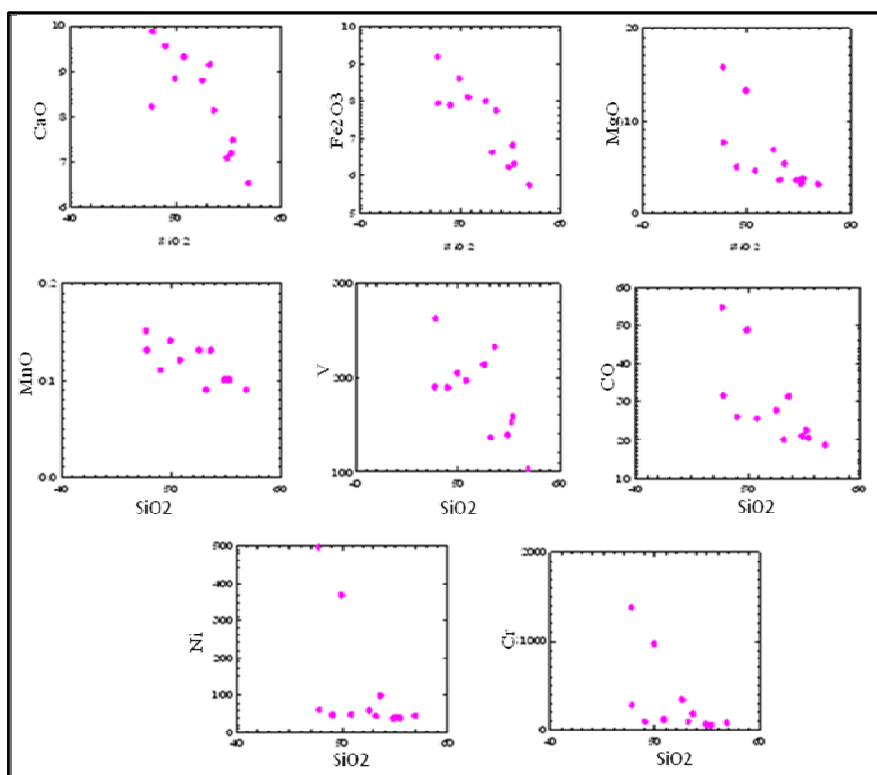
رفتار زمین‌شیمیایی تعدادی از اکسیدهای عناصر اصلی و فرعی نسبت به افزایش اکسید سیلیسیم [۱۷] بررسی شد (شکل ۶). در نمودارهای اکسید سیلیسیم نسبت به  $\text{CaO}$ ,  $\text{MnO}$ ,  $\text{MgO}$  و  $\text{Fe}_2\text{O}_3$  بعضی از نمونه‌ها پراکندگی، و روند منظمی را نشان نمی‌دهند (به ویژه دو نمونه‌ی SG1 و SG20).



شکل ۴ ردی بندی سنگ‌های آتشفسانی منطقه‌ی مورد بررسی [۱۳].



شکل ۵ تعیین سری ماقمایی نمونه‌ها براساس نمودار AFM [۱۶].



شکل ۶ نمودارهای هارکر وابسته به روند تغییرات تعدادی از اکسیدهای اصلی و عناصر فرعی نمونه‌های مورد بررسی [۱۷].

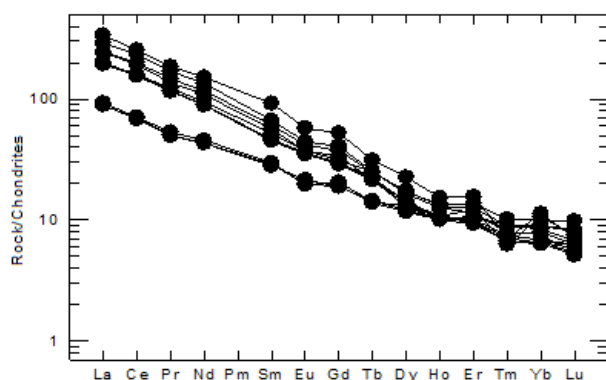
ماگمات است. همچنین مقادیر محاسبه شده نسبت  $\text{Eu}/\text{Eu}^*$  سنگ‌های مورد بررسی از  $0.59/0.97$  تا  $0.97/0.59$  در نوسان است. در این نمودار، الگوی پراکندگی عناصر نادر خاکی در سنگ‌های مختلف کم و بیش با هم موازی و همراه با غنی‌شدگی در LREE است که احتمالاً این غنی‌شدگی ناشی از ناسازگاری بیشتر LREE‌ها نسبت به HREE است [۲۲]. و یا احتمالاً عمل فروزانش در این غنی‌شدگی نقش داشته باشد [۲۳]. در این نمودار سه نمونه‌ی SG1، SG4 و SG20 الگوی پراکندگی

بررسی الگوهای عناصر نادر خاکی نمونه‌های مورد بررسی نسبت به فراوانی این عناصر در کندریت برگرفته از [۲۱] بهنجار شده‌اند (شکل ۷). در این نمودار شب منفی قابل ملاحظه‌ای مشاهده می‌شود که نشان دهنده‌ی غنی‌شدگی از عناصر خاکی کمیاب سبک (LREE) و تهی‌شدگی از عناصر خاکی کمیاب سنگین (HREE) برای سنگ‌های منطقه‌ی مورد بررسی است. ناهنجاری منفی ضعیف  $\text{Eu}$  نمونه‌ها نشان دهنده‌ی جدایش کانی در بردارنده‌ی این عنصر یعنی پلازیوکلاز از

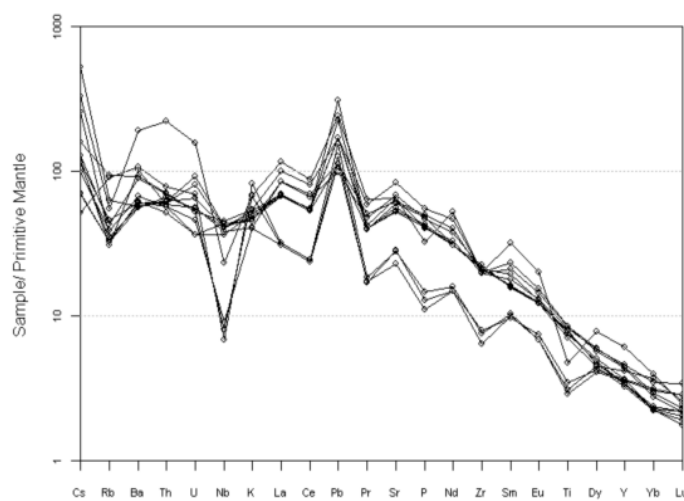
رسوبات پلازیک و یا شاره‌های حاصل از پوسته‌ی اقیانوسی دگرسان شده به منبع ذوبشدن گوه گوشهای باشد [۲۴]. Th عموماً به دنبال فرایند دگرنهادی در مناطق کمان به خاستگاه گوشهای اضافه می‌شود [۲۵]. بی‌نهجاري مثبت Pb به دگرنهادی گوه گوشهای در اثر شاره‌های ناشی از پوسته‌ی اقیانوسی فرورو و یا آلایش ماقما با پوسته‌ی قاره‌ای اشاره دارد [۲۶]. از دیگر ناهنجاری‌های مثبت در نمودارهای عنکبوتی، غنی‌شدگی نمونه‌ها از عناصر Ba و Sr است. باریم عنصری ناسازگار و متحرک است که مقدار آن عموماً در پوسته‌ی قاره‌ای و رسوب‌ها زیاد است [۲۷] هنگامی که پوشش رسوبی روی پوسته‌ی اقیانوسی فروراند می‌شود عناصر Ba و Sr در اثر شاره‌های مشتق شده از رسوب‌های آبدار و پوسته‌ی اقیانوسی به گوهی گوشهای منتقل شده و ماقماهایی با Ba و Sr بالا تولید می‌کنند [۱۸].

عناصر نادر خاکی در آن‌ها از عنصر La تا Dy با دیگر نمونه‌ها موازی نیست به نظر می‌رسد که دارای خاستگاه مختلفی باشند. بررسی الگوی عناصر کمیاب سنگ‌های منطقه‌ی مورد بررسی، نسبت به الگوی فراوانی این عناصر به گوشهای اولیه برگرفته از [۲۱] بهنجارسازی شده‌اند (شکل ۸) که روند تغییرات عناصر کمیاب در سنگ‌های مختلف کم و بیش موازی است (به جزء سه نمونه‌ی SG20، SG4 و SG1) که این امر دلالت بر هم خاستگاه بودن آن‌ها دارد. در این نمودار عناصر Ce، Rb، Nb، Zr، P، Ti، Ba، K، Pb و Sr برای تمام نمونه‌ها، و عناصر U و Th در بعضی نمونه‌ها ناهنجاری منفی دارند. همچنین عناصر Ce، Rb، Nb، Zr، P، Ti، Ba، K، Pb و Sr برای تمام نمونه‌ها، و عناصر U و Th در بعضی نمونه‌ها، ناهنجاری مثبت دارند.

غنی‌شدگی از عناصر Th و U در نمودارهای عنکبوتی می‌تواند به ترتیب نشان دهنده اضافه شدن مذاب حاصل از



شکل ۷ نمودار تغییرات عناصر خاکی کمیاب که نسبت به کندریت [۲۱] بهنجارشده‌اند.

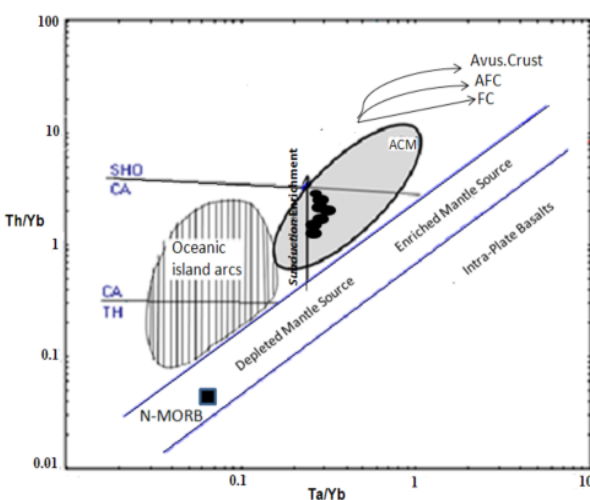


شکل ۸ نمودار عنکبوتی عناصر کمیاب که نسبت به گوشهای اولیه [۲۱] بهنجار شده‌اند.

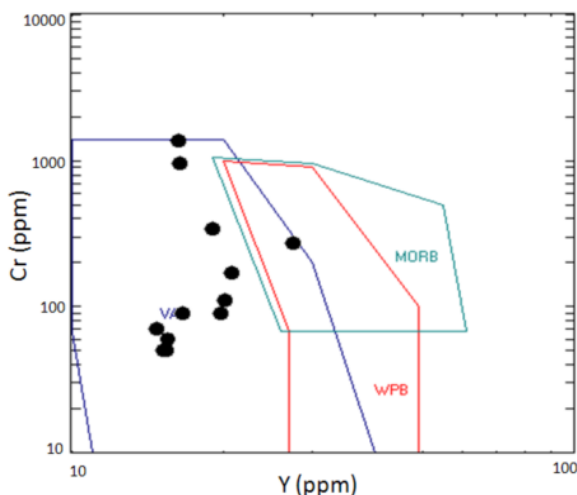
**بررسی جایگاه زمین ساختی**

از بررسی‌های زمین‌شیمیایی برای تعیین محیط زمین ساختی- ماگمایی سنگ‌ها استفاده می‌شود [۲۷]. عناصر HFSE مانند Th و Ta عموماً برای تشخیص محیط‌های زمین ساختی در سنگ‌های بازالتی مورد استفاده قرار می‌گیرند. بازالت‌های مناطق فرورانش از Th در مقایسه با Ta غنی هستند [۳۸]. شاره‌های حاصل از دست دادن آب پوسته اقیانوسی فرورونده نقش مهمی را در انتقال عناصر بین صفحه‌ی فرورونده و ماگمای تولید شده در کمان دارند [۴۰]. توریم یک عنصر HFSE است و انتظار می‌رود که مانند عناصر کم تحرک عمل کند، ولی در محیط‌های کمانی مانند عناصر متحرک رفتار می‌کند. این عنصر از مواد رسوبی صفحه‌ی فرورو حاصل می‌شود [۴۰]. عموماً نسبت‌های Th/Yb و Ta/Yb تحت تاثیر تبلور جدایشی یا ذوب بخشی (که در آن پیروکسن‌ها و فلدسپارها به صورت فازهای اصلی یا باقیمانده هستند) قرار نمی‌گیرند. بنابراین فراوانی این عناصر می‌تواند نشان دهنده‌ی ترکیب سنگ خاستگاه ماگما و یا هضم سنگ‌های پوسته به وسیله‌ی ماگما باشد [۳۸]. دگرنهادی ناحیه‌ی خاستگاه که در اثر فرآیندهای فرورانش انجام می‌شود، باعث غنی‌شدگی از Th نسبت به Ta شده و بنابراین سبب افزایش نسبت Th/Yb در مقایسه با Ta/Yb می‌شود. عامل دیگری که سبب بالا رفتن نسبت Th/Yb نسبت به Ta/Yb می‌شود، آلدگی پوسته‌ای است؛ زیرا فراوانی Th در مقایسه با Ta در سنگ‌های پوسته‌ای (به جز رخساره‌های گرانولیتی که Th پایین دارند) زیادتر است [۴۱]. نمودار تغییرات نسبت Th/Yb نسبت به Ta/Yb سنگ‌های آتشفشاری منطقه بررسی شد (شکل ۹). سنگ‌های مورد بررسی در این نمودار در گسترده‌ی حاشیه فعال قاره و روند غنی شدگی از Th تجمع پیدا کرده‌اند. و به موازات روند گدازهای مناطق فرورانش قرار گرفته‌اند. کروم در کانی‌های اولیوین، ارتوپیروکسن، و کلینوپیروکسن و اسپینل‌های مذاب بازالتی عنصری سازگار است. مقدار پایین Cr در بعضی از سنگ‌های آتشفشاری تابعی از مقدار متفاوت بودن ذوب گوشته و یا جدایش بلورین است. همچنین ایتریم در بازالت‌های جزایر قوسی، نسبت انواع دیگر بازالت‌ها تهی شده است [۲۷]. مقدار Cr سنگ‌های منطقه از ۵۰ تا ۱۳۷۰ پی‌پی‌ام متغیر است دامنه‌ی گسترده این عنصر در بازالت‌های کمان آتشفشاری به‌طور موثری ناشی از حضور متفاوت کانی‌های فرومیزیم است. سنگ‌های مورد بررسی در نمودار لگاریتمی Cr-Y [۴۲] در گسترده‌ی بازالت‌های کمان آتشفشاری قرار می‌گیرند (شکل ۱۰).

عناصر Ba، K و Pb که در بیشتر نمونه‌ها ناهنجاری مثبت دارند عناصری متحرک و LILE (لیتوفیل بزرگ یون، کاتیون‌های بزرگ با بار کم و پتانسیل یونی پایین) هستند که غلظت آن‌ها تابعی از نحوه فاز آبگون است، در حالی که عناصر Ce، Rb و Nb در تمام نمونه‌ها ناهنجاری‌های منفی نشان می‌دهند عناصری کم تحرک و HFSE (کاتیون‌های کوچک با بار فراوان و پتانسیل یونی بالا) هستند و غلظت آن‌ها در اثر شیمی سنگ خاستگاه و نیز فرآیندهای بلور- مذاب که در حین تشکیل سنگ صورت می‌گیرد کنترل می‌شود [۲۷]. همچنین عناصر LILE به دلیل دارا بودن پتانسیل یونی پایین، در فشار و دمای بالا به آسانی در شاره‌های آبدار حل شده و انتقال می‌یابند [۲۸-۳۰]. در صورتی که میزان احلال پذیری عناصر HFSE در شاره‌های آبدار پایین است [۳۱]. در نتیجه حین عمل ذوب بخشی یا از دست دادن آب پوسته‌ی اقیانوسی فرورونده، گوه گوشه‌ای بر اثر دگرنهادی شاره‌های آبدار از عناصر LILE نسبت به عناصر HFSE غنی شود [۳۲]. گدازهای منطقه‌ی فرورانش عموماً با تهی‌شدگی عناصر HFSE نسبت به عناصر LILE قابل تشخیص‌اند، خاستگاه این تهی‌شدگی می‌تواند به دلیل تاثیر شاره‌ها یا مواد مذاب حاصل از صفحه‌ی فرورانده روی گوه گوشه‌ای باشد [۳۲]. شاره‌های آبدار طی ماگماتیسم زون فرورانش، مسئول انتقال برخی از عناصر ناسازگار از پوسته‌ی فرورانده به پوسته‌ی قاره‌ای در ناحیه کمان هستند [۳۳]. بالا بودن نسبت LILE/HFSE در سنگ‌های مناطق کمان در نتیجه‌ی ورود اجزای LILE موجود در صفحه‌ی فرورونده به درون گوه گوشه‌ای بالای آن به وجود می‌آیند [۳۴]. فرایند فرورانش نقش موثری در افزایش میزان نسبت LILE/HFSE دارد [۳۵-۳۶]. همچنین بالا بودن نسبت‌های LREE/HREE و LILE/HFSE از علائم فرورانش محسوب می‌شوند [۳۷]. چون عناصر HFSE و HREE کم تحرک بوده و در صفحه‌ی فرورانده باقی می‌مانند، در حالی که عناصر LREE و LILE متحرک‌ترند و از طریق ذوب شدن یا از دست دادن آب پوسته‌ی اقیانوسی، به ماگمای تولید شده در منطقه‌ی فرورانش اضافه می‌شوند [۳۸]. بیشترین تهی‌شدگی در Nb مشاهده می‌شود چون در مناطق فرورانش شاره‌های آزاد شده از بخش فوقایی لیتوسفر فرورونده که از Nb فقیر و از LILE غنی هستند، به گوهی گوشه‌ای افزوده می‌شوند [۳۹]. از آنجا که سنگ‌های منطقه‌ی مورد بررسی در محیط فرورانش شکل گرفته‌اند، احتمالاً فرآیندهای یاد شده در تغییرات عناصر در منطقه‌ی مورد بررسی تاثیر گذار بوده‌اند.



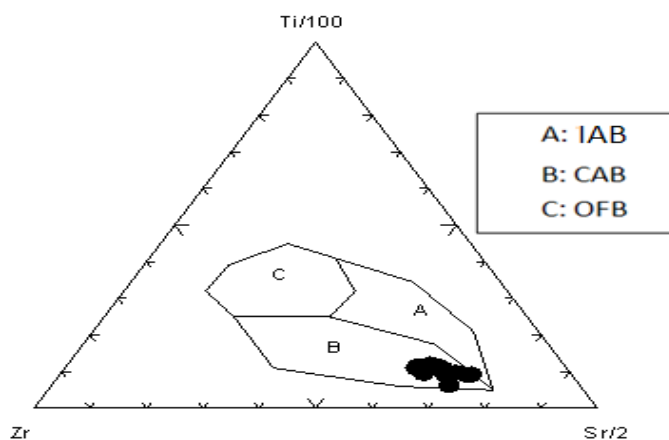
شکل ۹ نمودار لگاریتمی نسبت  $\text{Th}/\text{Yb}$  به  $\text{Ta}/\text{Yb}$  [۴۴-۴۲] سنگ‌های بازالتی نهیندان. گستره‌ی سنگ‌های شوشونیتی (SHO)، آهکی-قلیایی (CA) و تولئیتی (TH)، همچنین قلمرو سنگ‌های جزایر قوسی اقیانوسی و حاشیه‌ی فعال قاره (ACM) نیز در روی نمودار مشخص شده است. نوار باریک گستره‌ی مختلف گوشه‌های را نشان می‌دهد و پیکان‌ها به ترتیب از پایین به بالا معروف روند غنی‌شدگی گدازه‌های مناطق فروزانش (Subduction Enrichment)، روند تغییر ترکیب گدازه‌ها تحت تاثیر فرآیندهای اختلاط ماقمایی و جدایش (FC)، و آلودگی (AFC) هستند.



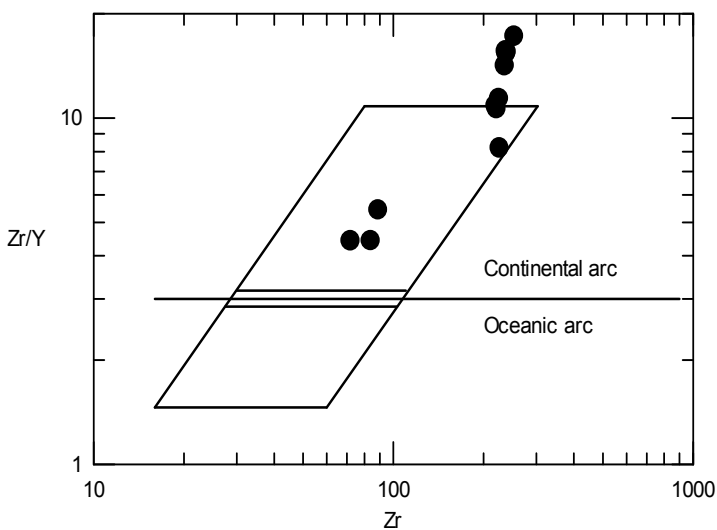
شکل ۱۰ نمودار  $\text{Cr}-\text{Y}$  سنگ‌های آتشفسانی جنوب شرق نهیندان [۴۲]. این نمودار MORB و بازالت‌های کمان آتشفسانی (VAB) را با همپوشی کمی از هم جدا می‌کند. همچنین گستره بازالت‌های درون صفحه‌ای (WPB) با گستره‌ی مورب و بازالت‌های کمان آتشفسانی همپوشی دارد.

برای تشخیص رژیم زمین ساختی می‌توان استفاده کرد [۴۶]. اگر در گدازه‌ها نسبت  $\text{Zr}/\text{Y}$  بیشتر از ۳ باشد به کمان‌های آتشفسانی قاره‌ای وابسته‌اند، و اگر در آن‌ها نسبت  $\text{Zr}/\text{Y}$  کمتر از ۳ باشد به کمان‌های آتشفسانی اقیانوسی بستگی دارند. سنگ‌های آتشفسانی منطقه‌ی مورد بررسی دارای نسبت  $\text{Zr}/\text{Y}$  بیشتر از ۳ هستند و در گروه کمان‌های آتشفسانی قاره‌ای قرار می‌گیرند. براساس نمودارهای بالا محیط تکتونوماقمایی منطقه‌ی مورد بررسی را می‌توان جزء محیط‌های حاشیه‌ی فعال قاره‌ای به شمار آورد.

برای بررسی دقیق‌تر محیط زمین‌ساختی گدازه‌های منطقه از نمودار  $\text{Zr-Sr}/100-\text{Zr-Ti}/100$  [۴۵] استفاده شد (شکل ۱۱). بر اساس این نمودار نیز سنگ‌های منطقه در گستره‌ی بازالت‌های آهکی-قلیایی جای گرفته‌اند. برای تمایز کمان ماقمایی حاشیه‌ی فعال قاره‌ای از کمان ماقمایی جزایر قوسی، از نمودار  $\text{Zr}/\text{Y}$  نسبت به  $\text{Y}$  استفاده شد (شکل ۱۲) [۴۳]. که در این نمودار سنگ‌های مورد بررسی در گستره‌ی قوس قاره‌ای قرار می‌گیرند، بنابراین به نظر می‌رسد که کمان ماقمایی سازنده‌ی سنگ‌های منطقه، ناشی از فروزانش یک پوسته‌ی اقیانوسی به زیر یک پوسته‌ی قاره‌ای بوده است. از نسبت عناصر کمیاب



شکل ۱۱ نمودار [۴۵] تعیین محیط زمین‌ساختی سنگ‌های آتشفشنای منطقه‌ی مورد بررسی. در این نمودار A گستره‌ی تولیت‌های جزایر قوسی (IAB)، B بازالت‌های آهکی-قلیایی (CAB) و C گستره‌ی بازالت‌های بستر اقیانوس (OFB) هستند.



شکل ۱۲ نمودار تعیین محیط زمین‌ساختی سنگ‌های آتشفشنای منطقه‌ی مورد بررسی براساس تغییرات  $Zr/Y$  نسبت به  $Zr$  [۴۳].

کلینوپیروکسن (اوژیت)، کانی‌های کدر و اولیوین تشکیل شده‌اند. بررسی‌های زمین‌شیمیایی و رفتار اکسیدهای عنصر اصلی و کمیاب نشان می‌دهد که این سنگ‌ها جزء سری آهکی-قلیایی هستند. نمودار عنکبوتی عناصر خاکی کمیاب، حاکی از غنی‌شدگی سنگ‌ها از عناصر خاکی کمیاب سبک (LREE) نسبت به عناصر خاکی کمیاب سنگین (HREE) است. بالا بودن نسبت‌های LREE/HREE و LILE/HFSE در سنگ‌های مورد بررسی می‌توان تشکیل آن‌ها را به مناطق فرورانش نسبت داد. نسبت  $Zr/Y$  در این سنگ‌ها بیش از ۳ است که از این لحاظ با سنگ‌های آتشفشنای قوس قاره‌ای مشابه‌اند.

#### برداشت

سنگ‌های بازالتی جنوب نهیندان بخشی از زون فلیش خاوری ایرانند. براساس بررسی‌های سنگ‌شناسی و زمین‌شیمیایی مشخص شد که این سنگ‌ها بیشتر بازالت و آندزیت بازالت هستند و مقدار کمی ترکیب آندزیت را دارند. این سنگ‌ها در مقاطع میکروسکویی معمولاً بافت ریز بلوری تا پورفیری نشان می‌دهند. همچنین بافت‌های ریز بلور پورفیری، جریانی، حفره‌ای و پورفیری خوش‌های نیز دارند و از درشت‌بلورهای پلازیوکلاز، پیروکسن (اوژیت)، اولیوین، آمفیبول (هورنبلند) و کانی‌های کدر با زمینه‌ای از ریز بلورهای پلازیوکلاز،

پراکندگی نمونه‌ها روی نمودارهای زمین- ساختی ماگمای نشانه‌ی شکل‌گیری آن‌ها در حاشیه فعال قاره است.

#### مراجع

- [1] علوی نائینی م، لطفی م، " نقشه زمین‌شناسی ۱/۱۰۰۰۰۰ نهبندان" ، سازمان زمین‌شناسی و اکتشافات معدنی کشور .۸۰۵۳ (۱۹۸۹) برگ شماره
- [2] Stocklin J., "Structural history and tectonics of Iran", A review, American Association of Petroleum Geologists Bulletin 52 (1968) 1229–1258.
- [3] Tirrul R., Bell I. R., Griffis R. J., Camp V. E., "The Sistan suture zone of eastern Iran", Geological Society of America Bulletin 94 (1983) 134-150.
- [4] Camp V.F., Griffis R. J., "Character, genesis and tectonic setting of igneous rocks in the Sistan suture zone, eastern Iran", Lithos 15 (1982) 221-239.
- [۵] افتخار نژاد ج، " مطالبی چند درباره تشکیل حوضه رسوی فلیش در خاور ایران و توجیه آن با تئوری تکتونیک صفحه‌ای" ، ضمیمه گزارش شماره ۲۲ ف، سازمان زمین‌شناسی و اکتشافات معدنی کشور (۱۳۵۲) ص ۲۸-۱۹ .
- [6] Gutman J.T., "Texture and genesis of phenocrysts in basaltic lava from the volcanic field", Amer. J. Sci. 277 (1977) 833-861.
- [7] Nelson S.T., "Montana A., "Sieve texture plagioclase in volcanic rocks produce by rapid decompression", Amer. Mineral. 77 (1992) 1242-1249.
- [8] Stewart M.L., Pearce T.H., "Sieve-textured plagioclase in dacitic magma: Interference imaging results", Amer. Mineral. 89 (2004) 348-351.
- [9] Wones D.R., Eguster H.P., "Stability of biotite: Experiment, theory and application", Amer. Mineral. 50 (1965) 1228-1275.
- [10] Rittmann A., "Stable mineral assemblages of igneous rock", Springer- Verlag, Berlin (1973).
- [11] Shelly D., "Igneous and Metamorphic rocks under the Microscope" , Chapman & Hall, University Press, Cambridge, Great Britain (1993) 445p.

- [34] Mohamed F.H., Moghazi, A.M., Hassanen M.A., “*Geochemistry petrogenesis and tectonic setting of late Neoproterozoic Dokhan-type volcanic rocks in Fatira area, eastern Egypt*”, International Journal of Earth Science 88 (2000) 764-777.
- [35] Saunders A.D., Tarney J., Weaver D., “*Transverse geochemical variations across the Antarctic Peninsula: implication for the genesis of calcalkline magmas*”, Earth and Planetary Science Letters 46 (1980) 344-360.
- [36] Hole M.J., Saunders A.D., Marriner G.F., Tarney J., “*subduction of pelagic sediments: implication for the origin of Ceanomalous basalts from Alexander Islands*”, Journal of Geological Society of London 141 (1984) 453-472.
- [37] Zanetti A., Mazzucchelli M., Rivalenti G., Vannuci R., “*The Finero phlogopite-peridotite massif: an example of subduction – related metasomatism*”, Contributions to Mineralogy and Petrology 134 (1999) 107-122.
- [38] Pearce J.A., Peate D.W., “*Tectonic implication of the composition of volcanic arc magmas*”, Annual Review Earth and Planetary Science Letters 23 (1995) 251-285.
- [39] Borg L.E., Clyne M.A., Bullen T.D., “*The variable role of slab derived fluids in the generation of a suite of primitive calcalkaline lavas from the Southernmost Cascades California*”, Contrib Mineral Petrol 35 (1997) 425–452.
- [40] Gorton M.P., Schandl E.S., “*From continents to island arcs: a geochemical index of tectonic setting for arc-related and within-plate felsic to intermediate volcanic rocks*”, The Canadian Mineralogist 38 (2000) 1065-1073.
- [41] Aldanmaz E., Pearce J.A., Thirlwall M.F., Mitchell J.G., “*Petrogenetic evolution of late Cenozoic, post-collision volcanism in western Anatolia, Turkey*”, Journal of Volcanology and Geothermal Research 102 (2000) 67-95.
- [42] Pearce J.A., “*Trace element characteristics of lavas from destructive plate boundaries. In: Thorpe, R.S. (ed.) Andesites: orogenic andesites and related rocks Chichester*”, Wiley (1982) 525-548.
- [43] Pearce J.A., “*Role of the sub-continental lithosphere in magma genesis at active continental*
- [24] Fan W. M., Gue F., Wang, Y.J., Lin G., “*Late Mesozoic calc-alkalin volcanism of post-orogenic extention in the northen Da Hinggan Mountains, northeastern China*”, Journal of Volcanology and Geothermal Research 121 (2003) 115-135.
- [25] Machado A., Lima E.F., Chemale Jr.F., Morata D., Oteiza O., Almeida D.P.M., Figueriredo A.M.G., Alexandre F.M., Urrutia J.L., “*Geochemistry constrains of Mesozoic- Cenozoic calc-alkalin magmatism in South Shetland arc Antarctica*”, Journal of South American Earth Sciences 18 (2005) 407-425.
- [26] Kamber B.S., Ewar A., Collerson K.D., Bruce M.C., McDonald G.D., “*Fluid-mobile trace element constraints on the role of slab melting and implications for Archaean crustal growth models*”, Contrib Mineral Petrol 144 (2002) 38–56.
- [27] Rollinson H.R., “*Using geochemical data: evalution, presentation, interpretation*”, Longman Group public (1993) 344p.
- [28] Green T.H., Pearson N.J., “*Ti-rich accessory phase saturation in hydrous mafic- felsic compositions at high P, T*”, Chemical Geology 54 (1986) 185-201.
- [29] Tatsumi Y., Eggin S., “*Subduction Zone Magmatism*”, Blackwell Science Cambridge, MA. (1995) 211pp.
- [30] Ryerson F.J., Watson E.B., “*Rutil saturation in magmas: implications for Ti-Nb-Ta depletion in island arc basalts*”, Earth and Planetary Science Letters 86 (1987) 225-239.
- [31] Tatsumi Y., Hamilton D.L., Nesbitt R.W., “*Chemical characteristics of fluid phase released from a subducted lithosphere and origin of arc magmas: evidence from high pressure experiment and natural rocks*”, Journal of Volcanology and Geothermal Reserch 29 (1986) 293- 309.
- [32] Green N.L., “*Influence of slab thermal structure on basalt source regions and melting conditions: REE and HFSE constraints from Garibaldi volcanic belt, northern Cascadia subduction system*”, Lithos, 87 (2006) 23-49.
- [33] Hermann J., Spandler C., Hack A. V., Korsakov A., “*Aqueous fluids and hydrous melts in high-pressure and ultra-high pressure rock: Implications for element transfer in subduction zones*”, Lithos, 92 (2006) 399-417.

*element analyses*", Earth and Planetary Science Letters 19 (1973) 290-300.

[46] Pearce J.A., Norry M.J., "Petrogenetic implication of Ti, Zr, Y and Nb variations in volcanic rocks", Contrib Mineral Petrol 69 (1979) 33-47.

*margins*", In: Hawkesworth C.J., Norry M.J., (eds.) "Continental basalts and mantle xenoliths," Shiva Nantwich (1983) 230-249.

[44] Wilson N.M., "Igneous Petrogenesis: A Global Tectonic Approach", Unwin Hyman London (1989) 466.

[45] Pearce J.A., Cann J.R., "Tectonic setting of basic volcanic rocks determined using trace